

4. Захаров Ю. П., Оришич А. М., Пономаренко А. Г. Лазерная плазма и лабораторное моделирование нестационарных космических процессов.— Новосибирск: ИТПМ СО АН СССР, 1988.
5. Irons F. E., Peacock N. S. A spectroscopic study of the recombination of C⁺⁶ to C⁺⁵ in an expanding laser-produced plasma // J. Phys. B: Atom. Molec. Phys.— 1974.— V. 7, N 15.
6. Захаров Ю. П., Оришич А. М., Пономаренко А. Г., Посух В. Г. Экспериментальное исследование эффективности торможения магнитным полем расширяющихся облаков диамагнитной плазмы // Физика плазмы.— 1986.— Т. 12, вып. 10.
7. Takagi S., Ohtani S., Kadota K., Fujita J. Cross-section for one-electron capture by highly stripped ions of Be, B and C from H and Ar below 10 kev // J. Phys. Soc. Jap.— 1983.— V. 52, N 11.
8. Биберман Л. М., Воробьев В. С., Якубов И. Т. Кинетика неравновесной низкотемпературной плазмы.— М.: Наука, 1982.
9. Потташ С. Планетарные туманности.— М.: Мир, 1987.

г. Новосибирск

Поступила 27/III 1991 г.

УДК 537.52; 531

В. П. Силаков, А. В. Чеботарев

СТАБИЛЬНЫЕ РЕЖИМЫ НЕРАВНОВЕСНОГО ИМПУЛЬСНО-ПЕРИОДИЧЕСКОГО РАЗРЯДА В ПОТОКЕ МОЛЕКУЛЯРНОГО АЗОТА ПРИ ВЫСОКОМ ДАВЛЕНИИ

1. Потребности лазерной техники и плазмохимии давно определяют повышенный интерес к исследованиям неравновесных газовых разрядов высокого давления в быстропроточных системах. Сейчас такие исследования приобрели особую актуальность в связи с появлением возможности эффективной накачки внутренних степеней свободы частиц в безэлектродных несамостоятельных СВЧ-разрядах [1]. Однако эксперимент показывает, что при больших удельных энерговкладах электрическая прочность слабоионизованных молекулярных газов заметно снижается [2—4]. Применительно к азотной плазме данное явление может быть вызвано процессами ассоциативной ионизации электронно-возбужденных метастабилей $A^3\Sigma_u^+$ и $a'^1\Sigma_u^-$ [5, 6] (условия пробоя газа с учетом указанных процессов ионизации и быстропротекающих реакций тушения электронно-возбужденных состояний молекул невозбужденными молекулами найдены в [7]). Предполагается [3, 7], что процессы ассоциативной ионизации стимулируют развитие ионизационно-перегревной неустойчивости с контракцией плазмы. Согласно [8], подсветка газа УФ-излучением (например, для поддержания несамостоятельного разряда) также может привести к существенному уменьшению электрической прочности среды. При изучении режимов накачки колебательных уровней молекул наряду с названными причинами нестабильности «горения» разряда в потоке необходимо учитывать возможность прихода в разрядную область газодинамических возмущений, возникающих ниже по течению в колебательно-возбужденном газе (в случае формирования возмущения ударного типа в условиях сильной колебательной неравновесности такое явление может сыграть дестабилизирующую роль даже в сверхзвуковых потоках [9]). В настоящей работе теоретически исследуется влияние процессов возбуждения и дезактивации электронных и колебательных уровней частиц газа на параметры безэлектродного импульсно-периодического СВЧ-разряда в потоке плотного молекулярного азота, а также обсуждаются наиболее стабильные режимы накачки колебательных степеней свободы молекул.

2. Рассмотрим одномерное течение газа из молекул N₂ и частиц примеси, происходящее вдоль оси X со скоростью D. Пусть в начальный мо-

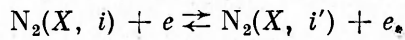
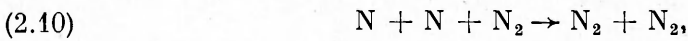
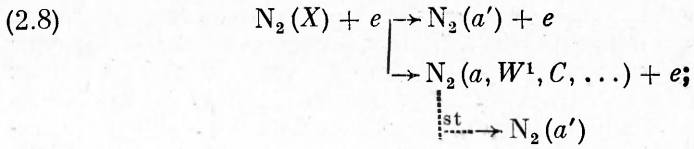
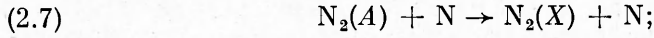
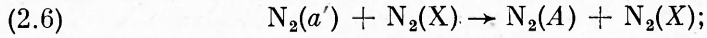
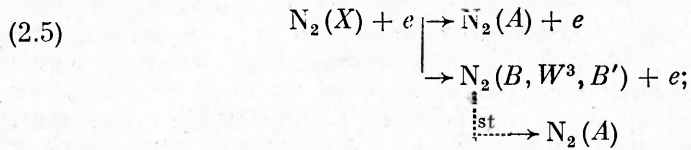
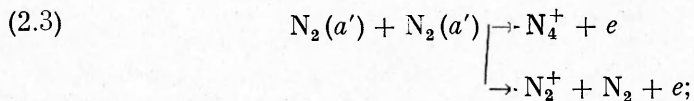
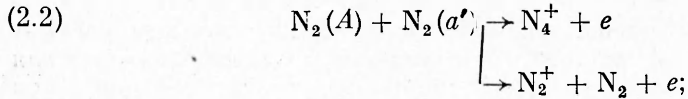
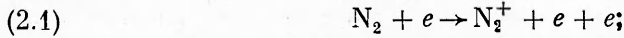
2*

19

мент времени газ во всем пространстве находится в равновесном состоянии при температуре T_0 и давлении p_0 . Далее в области $0 \leq x \leq x_1$ включается однородное амплитудно-модулированное СВЧ-поле с напряженностью $E_m(t) \sin \omega t$ ($E_m(t)$ и ω — амплитуда и частота поля). Если у границы $x = 0$ постоянно обеспечивается малая предионизация азота, то в этой области при $t > 0$ начинает формироваться неравновесная низкотемпературная плазма. За время $\Delta t \approx x_1/D$ прохождения макроскопической газовой частицы через разрядную область в результате взаимодействия поля с плазмой осуществляется вклад энергии в нагрев электронного компонента и в возбуждение внутренних степеней свободы молекул. После взаимодействия неравновесная среда релаксирует в области $x > x_1$.

Рассмотрение разрядных явлений будем проводить при условии, что $v_e \ll \omega \ll v_p$ (v_e и v_p — частоты релаксации энергии и импульса электронов при столкновении с нейтралами). Тогда кинетические коэффициенты электронов определяются параметром E/n_2 , где $E(t) = E_m(t)/\sqrt{2}$ и n_2 — концентрация молекул N_2 [10]. В качестве основы кинетической схемы взаимодействия электрического поля с предионизированным газом возьмем кинетическую схему, приведенную в [7], в которую наряду с процессами прямой ионизации молекул электронами входят процессы ассоциативной ионизации, обусловленные парными взаимодействиями метастабильных электронно-возбужденных молекул $N_2(A^3\Sigma_u^+)$ и $N_2(a'^1\Sigma_u^-)$. Заселение метастабильных уровней происходит не только за счет непосредственного возбуждения молекул электронами, но также за счет процессов тушения более высоких уровней невозбужденными молекулами. В рекомбинационном распаде плазмы основную роль играют комплексные ионы N_4^+ .

Дополненная процессами возбуждения колебательных уровней и диссоциации молекул электронным ударом кинетическая схема разряда определяется реакциями:



Для сокращения записи реакций электронные состояния молекул обозначались одной буквой. Содержание ионов N_2^+ и N_4^+ в плазме регулируется процессами $N_2^+ + N_2 \rightleftharpoons N_4^+ + N_2$, которые при высоком давлении и низкой температуре газа гораздо быстрее происходят в прямом направлении [11]. Поэтому в нашем случае ионы N_2^+ в плазме практически отсутствуют и ее ионный состав определяется главным образом частицами N_4^+ .

При постановке задачи было предусмотрено введение примесного компонента в газовый поток. Необходимость его присутствия диктуется тем, что в ряде случаев он должен предотвратить или замедлить лавинообразное размножение электронов в разряде, которое может начаться из-за процессов ассоциативной ионизации. В качестве стабилизирующего компонента газа брались молекулы CO, которые, не подвергаясь практически разрушению электронным ударом и не оказывая влияния на динамику электронного компонента плазмы, связанного с процессами прямой ионизации, сравнительно эффективно тушат возбуждения $N_2(A^3\Sigma_u^+)$ (константа скорости тушения A -уровня молекулами CO равна $K_t = 2,4 \times 10^{-11} \text{ см}^3/\text{с}$ [12]), а следовательно, уменьшают роль реакции (2.2). Дополнительным преимуществом использования указанной примеси является возможность экспериментального наблюдения по ее ИК-излучению за релаксацией колебаний молекул азота [13].

Накачку и релаксацию колебаний молекул N_2 будем рассматривать в рамках модели поуровневой кинетики ангармонических осцилляторов [14, гл. 4]. Тогда с учетом всего сказанного уравнения, описывающие динамику разряда, представим в виде

$$(2.11) \quad \begin{aligned} \frac{\partial n_e}{\partial t} + \frac{\partial (n_e v)}{\partial x} &= K_1 n_2 n_e + K_2 n_A n_{a'} + K_3 n_{a'}^2 - K_4 n_e^2, \\ \frac{\partial n_A}{\partial t} + \frac{\partial (n_A v)}{\partial x} &= (K_5 n_e + K_6 n_{a'}) n_2 - (K_7 n + K_t n_{CO} + K_2 n_{a'}) n_A, \\ \frac{\partial n_{a'}}{\partial t} + \frac{\partial (n_{a'} v)}{\partial x} &= K_8 n_2 n_e - (K_6 n_2 + K_2 n_A + 2K_3 n_{a'}) n_{a'}, \\ \frac{\partial n}{\partial t} + \frac{\partial (n v)}{\partial x} &= 2n_2 (K_9 n_e - K_{10} n^2), \\ \frac{\partial n_{CO}}{\partial t} + \frac{\partial (n_{CO} v)}{\partial x} &= 0, \\ \frac{\partial n_{(i)}}{\partial t} + \frac{\partial (n_{(i)} v)}{\partial x} &= \pi_{i(e)} + n_2 (\pi_{i+1} - \pi_i), \quad i = 0, 1, \dots, i_*, \\ \frac{\partial \varepsilon}{\partial t} + \frac{\partial}{\partial x} [(\varepsilon + p) v] &= \eta_T \sigma E^2 - n_2 \sum_{i=1}^{i_*} E_i (\pi_{i+1} - \pi_i), \\ \frac{\partial (n_2 v)}{\partial t} + \frac{\partial}{\partial x} \left[\frac{p}{m} + n_2 v^2 \right] &= 0. \end{aligned}$$

Здесь n_e , n_{CO} , n — концентрации электронов, молекул CO и атомов N; n_A , $n_{a'}$ — концентрация A- и a' -метастабилей; $n_{(i)}$ — концентрация молекул азота, находящихся на i -м колебательном уровне основного электронного состояния; v — скорость газа; K_1 , K_2 , ..., K_{10} — константы скорости реакций (2.1)–(2.10);

$$\pi_{i(e)} = \begin{cases} -n_e \left(n_{(0)} \sum_{j=1}^8 K_{0j} - \sum_{j=1}^8 K_{j0} n_{(j)} \right), & i = 0, \\ n_e (K_{0i} n_{(0)} - K_{i0} n_{(i)}), & i = 1, 2, \dots, 8, \\ 0, & i > 8; \end{cases}$$

K_{0i} , K_{i0} — константы скорости возбуждения и девозбуждения i -го колебательного уровня электронным ударом;

$$\pi_{i+1} = Z \left[P_{i+1,i} f_{i+1} - P_{i,i+1} f_i + \sum_{j=0}^{i_*} (Q_{i+1,i}^{j,j+1} f_{i+1} f_j - Q_{i,i+1}^{j+1,j} f_i f_{j+1}) \right];$$

Z — частота столкновений молекулы N_2 ; $f_i = n_{(i)}/n_2$; $P_{i,i+1}$, $P_{i+1,i}$ — вероятности переходов молекулы ($i \rightarrow i+1$) и ($i+1 \rightarrow i$) при столкновении с другой молекулой; $Q_{i+1,i}^{j,j+1}$ и $Q_{i,i+1}^{j+1,j}$ — вероятности VV -обменов ($j \rightarrow j+1$) и ($j+1 \rightarrow j$) при столкновении двух молекул; i_* — номер последнего учитываемого колебательного уровня (определяется из условия заведомого пренебрежения VV - и VT -процессами, относящимися к области колебательных квантовых чисел $i > i_*$); E_i — энергия возбуждения i -го колебательного уровня; $\epsilon = 0,5n_2(5kT + mv^2)$; m — масса молекулы N_2 ; $p = n_2kT$; η_T — доля полного энерговклада в разряд, идущая на прямой нагрев газа электронами; σ — проводимость плазмы.

Система уравнений (2.11) предназначена не только для изучения кинетических и газодинамических явлений в разрядной области, но и для характеристики релаксации неравновесной среды в области $x > x_1$. При этом использовать ее в зоне релаксации имеет смысл на участке $x_1 < x \leq x_2$, где колебательное распределение молекул N_2 формируется в основном за счет VV -процессов и осуществляется переход газа в состояние с квазистационарным распределением частиц по колебательным уровням. В области $x > x_2$ изучение колебательной релаксации ангармонических осцилляторов следует проводить в рамках простой и достаточно надежной модели квазистационарной релаксации [14] (вопрос о ее пригодности для решения газодинамических задач рассмотрен в [15], там же сделана коррекция ее аналитических формул).

Если теперь учесть, что в области $x < 0$ движение газа адиабатическое, то вместе с условиями $f_i(0, t) = f_0 \exp[-E_i/kT(0, t)]$ и $S(x_2 + 0, t) = \frac{1}{\hbar \omega_0} \sum_{i=1}^{i_*} E_i f_i(x_2 - 0, t)$ соотношения (2.11) и газодинамические уравнения модели квазистационарной релаксации [15] образуют замкнутую систему уравнений, позволяющих самосогласованно описывать электрический разряд в нестационарных потоках молекулярного азота. Они решались с помощью метода численного интегрирования гидродинамических уравнений в лагранжевых координатах, а также с применением алгоритма решения жестких систем обыкновенных дифференциальных уравнений, приведенных соответственно в [16 и 17].

Согласно [7], заселение метастабильных уровней $A^3\Sigma_u^+$ и $a'^1\Sigma_u^-$ электронным ударом в плотных газах происходит с эффективными константами скорости: $K_5 = \sum_m K_m$ и $K_8 = \sum_l K_l$, где K_m — константы возбуждения молекулы электронами из основного состояния в состояния $A^3\Sigma_u^+$, $B^3\Pi_g$, $W^3\Delta_u$, $B'^3\Sigma_u^-$; K_l — константы возбуждения молекул электронами в электронные состояния $a'^1\Sigma_u^-$, $a^1\Pi_g$, $W^1\Delta_u$ и т. д. Для определения зависимости K_1 , K_5 и K_8 от параметров S и E/n_2 использовались результаты [18], а K_9 — результаты [19]. Отметим, что при $E/n_2 \geq 4 \cdot 10^{-16}$ В·см² и $S \leq 1,5$ характер колебательного распределения молекул газа f_i слабо влияет на указанные зависимости (развернутое обсуждение этого вопроса см. в [20]). Данные по константам скорости реакций (2.4) и (2.10) приведены в [12, 21]. При решении задачи полагали $K_3 = 4K_2 = 2 \cdot 10^{-10}$ см³/с [6], $K_6 = 2 \cdot 10^{-13}$ см³/с [22] и $K_7 = 5 \cdot 10^{-11}$ см³/с [11]. Из-за малости константы тушения уровня $A^3\Sigma_u^+$ невозбужденными молекулами [23] соответствующими потерями A -метастабилей в уравнениях (2.11) пренебрегли. Выражения для вероятностей VV - и VT -переходов брались из [14], температурные зависимости $P_{10}(T)$ и $Q_{10}^{01}(T)$ — соответственно из [1 и 24].

Значения K_0 находились по аппроксимациям, построенным на базе расчетных результатов [5]. Зависимость $\eta_T(E/n_2)$ взята из [25].

3. Согласно [7], нарастание электронной лавины, связанное с реакциями ассоциативной ионизации (2.2) и (2.3), не может быть предотвращено процессами электрон-ионной рекомбинации. Расчеты показали также, что скорость размножения электронов за счет процессов (2.2) и (2.3) гораздо выше в колебательно-возбужденном газе. Объясняется такое явление заметным ростом частот заселения уровней $A^3\Sigma_u^+$ и $a'^1\Sigma_u^-$ с увеличением числа S , характеризующего степень колебательной неравновесности газа [5]. Взрывной рост числа электронов, как правило, совпадает по времени с основным энерговкладом в колебательные степени свободы азота. Поэтому переход разряда в нестабильную фазу в некоторых случаях (к которым относится, например, СВЧ-разряд, поддерживаемый электромагнитными волнами) может привести к срыву режима пространственно однородной накачки колебательного резервуара газа (из-за вытеснения электрического поля из большей части разрядного объема).

Для стабилизации процесса в газ добавляется примесь из молекул CO. При этом во всех случаях значение n_{CO}/n_2 считается равным 10^{-2} (расчеты показали, что если $n_{CO}/n_2 \leq 10^{-2}$, то влиянием примеси на нагрев газа можно пренебречь). На рис. 1 отражена типичная картина развития однородного разряда в поле с постоянной амплитудой. Уравнения (2.11) решались при условиях $n_2 = 10^{19} \text{ см}^{-3}$, $E/n_2 = 7 \cdot 10^{-16} \text{ В} \cdot \text{см}^2$, $n_e(0) = 10^5 \text{ см}^{-3}$, $n_A(0) = n_a(0) = 0$, $T(0) = 300 \text{ К}$. Из графика видно, что до момента времени $t_0 \approx 110 \text{ мкс}$ основным механизмом размножения электронов является процесс ионизации молекул N₂ электронным ударом. Параллельно происходят накопление A-метастабилей и увеличение концентрации a'-метастабилей (по закону $n_{a'} \approx K_8 n_e / K_6$). С момента $t_* \approx 115 \text{ мкс}$ начинается взрывное нарастание концентрации электронов. Вложение энергии поля в колебательные степени свободы происходит главным образом на ассоциативно-ионизационной фазе развития электронной лавины. Иллюстрируя сказанное, заметим, что переход системы из состояния с $S = 0,1$ к состоянию с $S = 1,0$ осуществляется после 115 мкс примерно за 1 мкс без нагрева газа ($\Delta T \approx 5 \text{ К}$). Данный расчет (вместе с другими расчетами, выполненными для широкого диапазона значений параметра E/n_2) показывает невозможность достижения высокой степени колебательной неравновесности газа при постоянном электрическом поле на стабильной фазе разряда.

Перейдем к описанию разряда, создаваемого чередующимися импульсами постоянного поля большой и малой амплитуды. Такая структура поля обеспечивает поддержание оптимальной средней концентрации электронов короткими импульсами большой амплитуды E_1 (длительностью τ_1) и накачку колебаний молекул на рекомбинационном спаде концентрации электронов в импульсе меньшей амплитуды E_2 и большей длительности τ_2 . При расчетах параметры периодического поля подбирались из условия наибольшего вложения энергии в колебания на стабильной фазе разряда. На рис. 2 и 3 представлены зависимости $n_e(t)$, $S(t)$ и $T(t)$, найденные в изохорическом и изобарическом (линии 1, 2) приближениях для $E_1 = 9,5 \text{ кВ/см}$, $\tau_1 = 100 \text{ нс}$, $E_2 = 4,1 \text{ кВ/см}$, $\tau_2 = 3 \text{ мкс}$ (решение уравнений проводилось с ранее принятymi начальными условиями). Границы заштрихованных областей на рис. 2 — огибающие функции $n_e(t)$, которые проходят через точки, отвечающие значениям концентрации электронов в моменты времени окончания коротких импульсов ионизации (верхние границы) и значениям концентрации электронов в моменты времени окончания длинных импульсов накачки (нижние границы).

Из рис. 2, 3 видно, что в случае изохорического разряда значение S растет со временем практически линейно, причем в интервале $0 \leq S \leq 1,5$ рост S сопутствует постепенному увеличению концентрации электронов до $\sim 10^{13} \text{ см}^{-3}$. Таким образом, рассматриваемый сильно неравновесный импульсно-периодический разряд в течение длительного времени

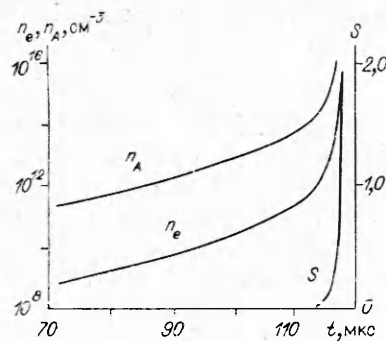


Рис. 1

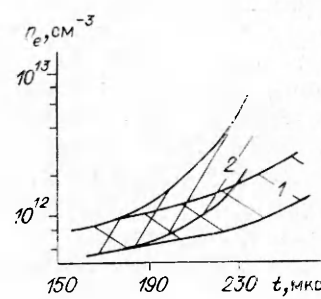


Рис. 2

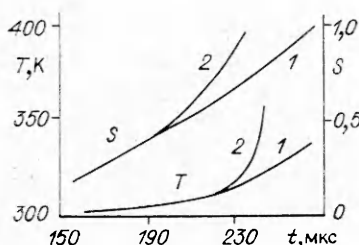


Рис. 3

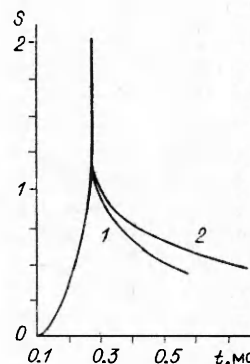


Рис. 4

остается стабильным по отношению к ассоциативно-ионизационному пробою газа. В этом случае основным механизмом срыва процесса стабильной накачки колебаний молекул становится ионизационно-перегревная неустойчивость. Согласно рис. 2 и 3, в изобарическом разряде такая неустойчивость появляется в момент $\tau_* \approx 230$ мкс, когда $S \approx 0,85$.

4. Проанализируем стабильность режимов накачки колебаний молекул азота импульсно-периодическим разрядом в однородных газовых потоках. В начальный момент времени параметры среды следующие: $n_2(x, 0) = 10^{19}$ см⁻³, $T(x, 0) = T_0 = 300$ К, $n_{\text{CO}}(x, 0) = 10^{17}$ см⁻³, $n_e(x, 0) = n_{e0} = 10^5$ см⁻³. Параметры электрического поля, действующего в области $0 \leq x \leq x_1$, брались такими же, как в разобранном выше примере. Размер разрядной области подбирался так, чтобы макроскопические частицы однородного потока при различных скоростях прокачки газа проходили через всю область за время τ , близкое к τ_* . Кроме сказанного при решении уравнений (2.11) еще учитывалось, что $n_e(0, t) = n_{e0}$ и $\tau = 255$ мкс.

На рис. 4 для двух режимов прокачки с $D_1 = 0,5 c_0$ и $D_2 = 1,1 c_0$ (c_0 — скорость звука в невозмущенном потоке) даны зависимости $S(x_1, t)$, которые характеризуют динамику процесса накачки колебательного резервуара газа в разряде. Как видно, они немонотонны и имеют резкие максимумы. Появление резких максимумов связано с развитием ионизационно-перегревной неустойчивости в макроскопических частицах газа, находившихся в начальный момент времени вблизи границы $x = 0$. Такие максимумы отвечают «нитевидному» пространственному образованию, которое выносится потоком из разрядной области. Заметим, что ультрафиолетовое излучение «нити» может привести к возникновению «сверхзвуковой» волны ионизации, распространяющейся навстречу потоку в разрядную область и переводящей разряд в сильнонеоднородное состояние [1].

Далее обсуждается случай, когда интенсивность ультрафиолетовой подсветки недостаточна для стимуляции волны ионизации в разрядной области. Если учесть, что при скоростях потока, равных $0,5 c_0$ и $1,1 c_0$,

выполняется соотношение $v(x_1, t) < c(x_1, t)$ ($c(x_1, t)$ — скорость звука в газе на границе $x = x_1$), то становится понятным эффект заметного снижения уровня накачки колебаний после выноса «нити» из разрядной области (см. рис. 4). Такое снижение происходит из-за постепенного сжатия газа в разрядной области (а точнее, вследствие уменьшения параметра E/n_2) возмущениями, появляющимися в зоне релаксации $x > x_1$.

Интересными представляются результаты расчета, выполненного для потока, движущегося со скоростью $D_3 = 2c_0$ (при $\tau = 270$ мкс). В этом варианте задачи после выноса «нити» из разрядной области на выходе устанавливается стационарное течение с $S(x_1, t) = 0,9$. Возможность реализации стабильного стационарного режима эффективной накачки колебаний здесь определяется тем, что малые возмущения газа, возникающие в зоне релаксации, сносятся течением. Однако в области $x > x_1$ в результате релаксационного нагрева среди происходит формирование газодинамического отклика в виде ударной волны. Ускоренно двигаясь против течения по колебательно-возбужденному газу (физика явления описана в [9, 15]), ударная волна в момент времени $\tilde{t} = 3,32$ мс достигает границы $x = x_1$, а затем начинает «гасить» разряд. На рис. 5 показана эволюция газодинамического отклика (профили давления 1—4 приведены для $t = 0,68; 1,56; 2,87; 3,7$ мс соответственно).

В заключение отметим, что, согласно [26], в рассматриваемом примере при $D \geq D_{c+} \approx 3,7c_0$ (D_{c+} — минимальная скорость стационарного слабодetonационного течения) в потоке должен сформироваться стабильный стационарный режим накачки колебаний молекул с $S(x_1, t) = 0,9$ и зоной релаксации безударного типа.

ЛИТЕРАТУРА

- Батанов Г. М., Грицинин С. И. и др. СВЧ-разряды высокого давления // Тр. ФИАН СССР. — 1985. — Т. 160. — С. 174.
- Богатов Н. А., Голубев С. В., Зорин В. Г. Несамостоятельный СВЧ-разряд в пучке электромагнитных волн // Письма в ЖТФ. — 1984. — Т. 10, № 5.
- Грицинин С. И., Коссый И. А. и др. Несамостоятельный СВЧ-разряд в азоте при высоком давлении // ЖТФ. — 1987. — Т. 57, № 4.
- Богатов Н. А., Гитлин М. С. и др. Экспериментальное исследование неустойчивости несамостоятельного СВЧ-разряда // ЖТФ. — 1987. — Т. 57, № 1.
- Brunet H., Vincent P., Rocca-Serra J. Ionization mechanism in a nitrogen glow discharge // J. Appl. Phys. — 1983. — V. 54, N 9.
- Brunet H., Rocca-Serra J. Model for a glow discharge in flowing nitrogen // J. Appl. Phys. — 1985. — V. 57, N 5.
- Силаков В. П. Влияние процессов ассоциативной ионизации электронно-возбужденных метастабилей на электрическую прочность слабоионизованного молекулярного азота высокого давления // Физика плазмы. — 1988. — Т. 14, № 10.
- Жабицкий М. Г., Силаков В. П. Влияние ультрафиолетового излучения на динамику импульсного электрического разряда в молекулярном азоте высокого давления // Физика плазмы. — 1989. — Т. 15, № 10.
- Рухадзе А. А., Силаков В. П., Чеботарев А. В. Распространение нестационарных ударных волн в колебательно-возбужденном азоте // Краткие сообщения по физике. — 1983. — № 6.
- Дятко Н. А., Кочетов И. В., Напартович А. П. Влияние инерционности энергетического распределения электронов на частоту ионизации в слабоионизованной плазме ВЧ-разряда // Физика плазмы. — 1985. — Т. 11, № 6.
- Полак Л. С., Сергеев П. А., Словецкий Д. И. Образование комплексных и атомарных ионов в тлеющем разряде в азоте // Плазмохимические реакции и процессы. — М.: ИНХС АН СССР, 1977.
- Словецкий Д. И. Механизмы химических реакций в неравновесной плазме. — М.: Наука, 1980.
- Грицинин С. И., Коссый И. А. и др. Динамика колебательного возбуждения и нагрева азота в процессе и после импульсного СВЧ-разряда // ТВТ. — 1984. — Т. 22, № 4.

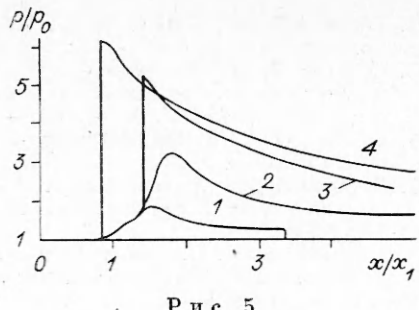


Рис. 5

14. Гордиец Б. Ф., Осипов А. И., Шелепин Л. А. Кинетические процессы в газах и молекулярные лазеры.— М.: Наука, 1980.
15. Силаков В. П., Чеботарев А. В. Квазистационарная релаксация и газодинамические явления в однокомпонентной системе возбужденных ангармонических осцилляторов // ПМТФ.— 1987.— № 6.
16. Самарский А. А. Вычислительные методы в математической физике.— М.: Издво МГУ, 1986.
17. Захаров А. Ю., Турчанинов В. И. STIFF-программа для решения жестких систем обыкновенных дифференциальных уравнений // Инструкция ИПМ АН СССР.— 1977.
18. Кочетов И. В., Певгов В. Г. и др. Скорости процессов, инициируемых электронным ударом в неравновесной плазме. Молекулярный азот и двуокись углерода // Плазмохимические процессы.— М.: ИНХС АН СССР, 1979.
19. Александров Н. Л., Кончаков А. М., Сон Э. Е. Функция распределения электронов и кинетические коэффициенты азотной плазмы // Физика плазмы.— 1978.— Т. 4, № 5.
20. Жабицкий М. Г., Силаков В. П. О зависимости кинетических коэффициентов электронов в низкотемпературной азотной плазме от степени колебательной неравновесности молекулярной компоненты // ХВЭ.— 1990.— Т. 24, № 2.
21. Смирнов Б. М. Комплексные ионы.— М.: Наука, 1983.
22. Dreyer J. W., Perner D. The deactivation of $N_2(B^3\Pi_g)$, $v = 0-2$ and $N_2(a'^1\Sigma_u^-)$, $v = 0$ by nitrogen // Chem. Phys. Letters.— 1972.— V. 16, N 1.
23. Clark W. G., Setser D. W. Energy transfer reactions of $N_2(A^3\Sigma_u^+)$ // J. Phys. Chem.— 1980.— V. 84, N 18.
24. Валянский С. И., Верещагин К. А. и др. Измерение константы скорости VV -обмена в азоте при бигармоническом возбуждении // Квантовая электрон.— 1984.— Т. 11, № 9.
25. Дятко Н. А., Кочетов И. В. и др. Влияние процесса ионизации на кинетические коэффициенты в низкотемпературной плазме.— М., 1983.— (Препр./ИАЭ, № 3842/12).
26. Силаков В. П., Чеботарев А. В. Стационарные течения колебательно-возбужденного газа двухатомных молекул // ПМТФ.— 1986.— № 5.

г. Москва

Поступила 31/VIII 1990 г.,
в окончательном варианте — 18/III 1991 г.

УДК 537.533.5

M. Г. Мусаев

КОНТРАГИРОВАННЫЙ РЕЖИМ РАЗРЯДА ПРИ НАЛИЧИИ ПОГРАНИЧНЫХ СЛОЕВ В СВЕРХЗВУКОВОМ ПОТОКЕ ПЛАЗМЫ В КАНАЛЕ

В работе излагаются результаты экспериментального исследования приэлектродных процессов, протекающих в контрагированном режиме разряда в импульсном сверхзвуковом канале. На основе анализа вольт-амперных характеристик и фоторазверток свечения поверхности электродов показано, что в импульсном сверхзвуковом потоке аргоновой плазмы сопротивление приэлектродных областей для делящихся пятен ниже, чем в случае периферийных дуговых привязок. Далее снижение числа Маха M_1 и приближение к ударной волне (в зоне ионизационной релаксации) смешает вольт-амперные характеристики вправо, в область более высокого межэлектродного падения напряжения.

Одним из простейших и универсальных методов изучения свойств электрического разряда в пограничных слоях является определение вольт-амперных характеристик, которые совместно с изучением фоторазвертки свечения разряда на электродах в зависимости от состояния поверхности электрода, от газодинамических и теплофизических свойств плазмы в канале позволяют найти более оптимальные условия работы электродных стенок импульсного МГД-генератора с холодными электродами. При этом исследования осложняются нестационарностью процессов, которые обуславливаются наличием пограничного слоя, движущегося относительно электродов, и продольной неоднородностью начального участка газо-